

# 对介子态和非 $q\bar{q}$ 态的认识 \*

吴 济 民

(中国科学院高能物理研究所 北京 100039)

**摘要** 通过对玻色共振态强子的 Regge 轨迹行为的分析和与夸克模型预言的比较, 来认识现已发现的标量粒子态, 张量粒子态和赝标粒子态的实质. 指出其中若干共振态明显地属于非  $q\bar{q}$  态.

**关键词** 非  $q\bar{q}$  共振态 胶球态 Regge 轨迹

无论从理论上和实验上人们都有很大的兴趣寻找和确认非  $q\bar{q}$  强子束缚态(胶球、混杂态和四夸克态等). 现有理论的初步预言指出, 这些新强子态的质量在现已发现的大量  $q\bar{q}$  介子质量范围之内. 因此, 有必要对现有玻色共振态或介子态质量谱作一番观察. 在本文中, 我们集中注意  $0^{++}, 2^{++}, 0^{-+}$  态.

在表 1 中给出了按  $q\bar{q}$  之间轨道角动量的大小排出的各  $J^P$  多重态及已知的和可能的介子态  $q\bar{q}$  的填充情况. 其中包括自旋单态、自旋三重态. 也按基态和激发态列出了相应的  $q\bar{q}$  多重态. 在圆括号中给出这个多重态内粒子填充情况, 其中第一个粒子为  $I = 1$  态, 第二个粒子为  $I = 0, \frac{1}{2} (\bar{u}\bar{u} + \bar{d}\bar{d})$  态, 第三个粒子为  $I = 0, \bar{s}\bar{s}$  态. (这里没有列出  $I = 1/2, K$  介子态). 在表 1 中也没有列出自旋三重态中  ${}^3P_1, {}^3D_2, {}^3F_3 \dots$  多重态. (暂且只关心  $0^{++}, 2^{++}, 0^{-+}$  态)<sup>[1]</sup>.

在表 1 中, 可以看到在若干个多重态中已经发现并有合适的粒子填充进去. 例如  ${}^3S_1, {}^3P_2, {}^3D_3, {}^3F_4$  多重态. 但还有相当多的多重态没有发现和确认有合适的介子填充进去.

我们知道,  $q\bar{q}$  介子多重态可以按 Regge 轨迹有规律地排列. 例如, 图 1 中给出了  ${}^3S_1, {}^3P_2, {}^3D_3, {}^3F_4 \dots$  系列和  ${}^3P_0, {}^3D_1, {}^3F_2, {}^3G_3 \dots$  系列中  $I = 1$  态组成的 Regge 轨迹. 在图 2 中给出了  $\omega, f_2(1270) \dots$  类  $\omega$  系列粒子组成的 Regge 轨迹. 在图 3 中给出  $\phi, f_2(1525) \dots$  类  $\phi$  系列粒子组成的 Regge 轨迹, 在图 4 中给出  ${}^3P_0, {}^3D_1 \dots$  系列类  $\omega$  粒子组成的 Regge 轨迹(对照表 1).

可以看出, 这些介子态都按照 Regge 轨迹的规律整齐排列形成 Regge 轨迹. 尤其在

1998-09-08 收稿

\* 国家科委“九五”攀登项目、国家自然科学基金委资助

表1 介子多重态填充

$^1S_0(0^{-+})$ , ( $\pi, \eta, \eta'$ )		$^3S_1(1^{--})(\rho, \omega, \phi)$
$^1P_1(1^{+-})$ , $\left(\begin{array}{ccc} b_1 & h_1 & h_1 \\ 1235, & 1170, & 1380 \end{array}\right)$	$^3P_0(0^{++})$ , $\left(\begin{array}{ccc} a_0 & f_0 \\ 1450, & 1370, \end{array}\right)$	$^3P_2(2^{++})$ , $\left(\begin{array}{ccc} a_2 & f_2 & f'_2 \\ 1320, & 1270, & 1525 \end{array}\right)$
$^1D_2(2^{-+})$ , $\left(\begin{array}{c} \pi_2 \\ 1670, \end{array}\right)$	$^3D_1(1^{--})$ , $\left(\begin{array}{cc} \rho & \omega \\ 1700, & 1600, \end{array}\right)$	$^3D_3(3^{--})$ , $\left(\begin{array}{ccc} \rho_3 & \omega_3 & \phi_3 \\ 1690, & 1670, & 1850 \end{array}\right)$
$^1F_3(3^{+-})$ ,	$^3F_2(2^{++})$	$^3F_4(4^{++})$ , $\left(\begin{array}{ccc} a_4 & f_4 & f_4 \\ 2040, & 2050, & 2220 \end{array}\right)$
$^1G_4(4^{-+})$ ,	$^3G_3(3^{--})$ , $\left(\begin{array}{c} \rho_3 \\ 2250, \end{array}\right)$	$^3G_5(5^{--})$ , $\left(\begin{array}{c} \rho_5 \\ 2350, \end{array}\right)$
$^1H_5(5^{+-})$ ,	$^3H_4(4^{++})$	$^3H_6(6^{++})$ , $\left(\begin{array}{c} a_6 & f_6 \\ 2450, & 2510 \end{array}\right)$
$^2S_0(0^{-+})$ , $\left(\begin{array}{cc} \pi & \eta \\ 1300, & 1295, \end{array}\right)$		$^2S_1(1^{--})$ , $\left(\begin{array}{ccc} \rho & \omega & \phi \\ 1450, & 1420, & 1680 \end{array}\right)$
$^2P_1(1^{+-})$ ,	$^2P_0(0^{++})$	$^2P_2(2^{++})$ , $\left(\begin{array}{cc} f_2 & f_2 \\ 1810, & 2010 \end{array}\right)$
$^2D_2(2^{-+})$ , $\left(\begin{array}{c} \pi_2 \\ 2100, \end{array}\right)$	$^2D_1(1^{--})$	$^2D_3(3^{--})$
	$^2F_2(2^{++})$	$^2F_4(4^{++})$ , $\left(\begin{array}{c} f_4 \\ 2300, \end{array}\right)$
$^3S_0(0^{-+})$ , $\left(\begin{array}{cc} \pi & \eta \\ 1800, & 1760, \end{array}\right)$		$^3S_1(1^{--})$
		$^3P_2(2^{++})$ , $\left(\begin{array}{c} f_2 \\ 2150, \end{array}\right)$

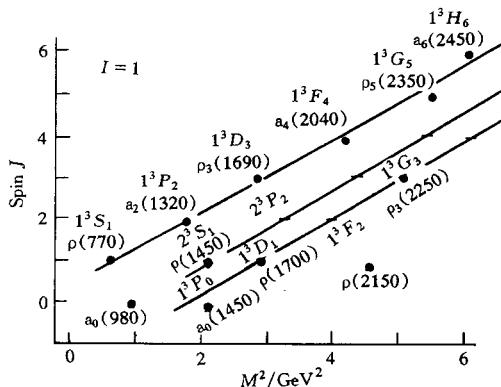


图 1

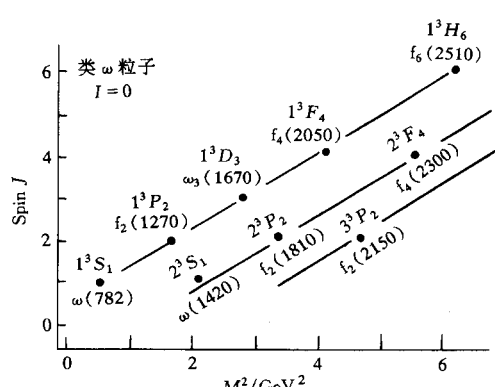


图 2

图 1 上清楚地看到这一点。另外看出，类 $\omega$ 粒子的轨迹斜率为  $0.879 \text{ GeV}^{-2}$ ，类 $\phi$ 粒子的轨迹斜率为  $0.778 \text{ GeV}^{-2}$ ，两者不等。 $^3P_0, ^3D_1 \dots$  系列中类 $\omega$ 粒子被发现的不多，按类 $\omega$ 粒子轨迹的斜率作出 Regge 轨迹（见图 4）：

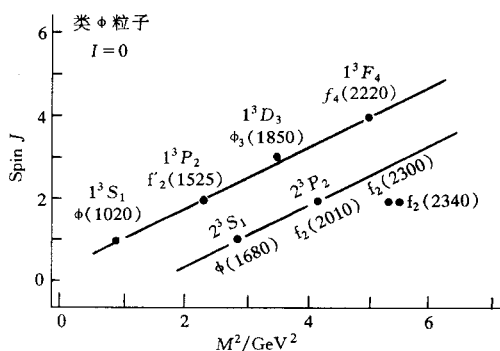


图 3

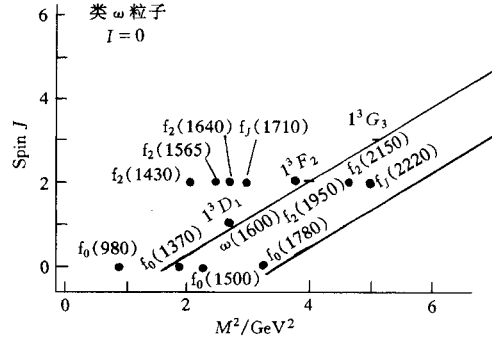


图 4

## 1 观察 $0^{++}$ 态

长期以来, 标量粒子一直存在许多谜. 近几年来, 几种不同的产生过程给出了高统计的测量结果, 情况有了一些进展. 目前发现和确认的标量粒子有,  $I = 1$  态:  $a_0(980)$ ,  $a_0(1450)$ ;  $I = 0$  态:  $f_0(400—1200)$ ,  $f_0(980)$ ,  $f_0(1370)$ ,  $f_0(1500)$ ,  $f_j(1710)$ ,  $f_0(2020)$ ,  $f_0(2060)$ ,  $f_0(2200)$ <sup>[1]</sup>.

(1) 有很强的迹象表明  $a_0(980)$ ,  $f_0(980)$  是  $K\bar{K}$  分子态<sup>[2]</sup>或多夸克态<sup>[3]</sup>. 它们的双光子宽度比  $q\bar{q}$  介子束缚态预言要小很多. 在 Regge 轨迹上,  $f_0(980)$  明显地偏离  $f_0(1370)$ ,  $\omega(1600)$ ... 形成的 Regge 轨迹,  $a_0(980)$  也明显地偏离  $a_0(1450)$ ,  $\rho(1700)$ ... 形成的 Regge 轨迹. 这些都表明  $a_0(980)$ ,  $f_0(980)$  主要不是正常的  $q\bar{q}$  态(见图 1, 4).

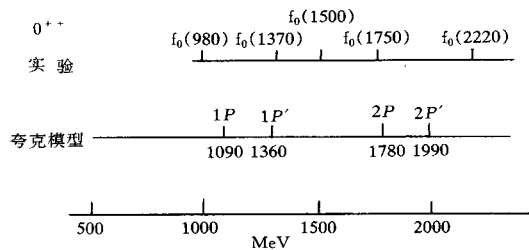
(2) 如果把  $K_0^*(1430)$  选为标量八重态的  $I = 1/2$  态, 人们对此的争论不大. 因此, 比较自然地选  $a_0(1450)$ ,  $f_0(1370)$  为  $I = 1$  分量和  $I = 0$  的分量构成同一个八重态. 因为他们有接近的质量和衰变宽度.  $f_0(1370)$  也合适地排列在相应的 Regge 轨迹的位置上(见图 4). 但是, 如果选  $f_0(1500)$  为  $s\bar{s}$  分量, 后者的衰变宽度太小了些 ( $\Gamma = 112 \pm 20 \text{ MeV}$ ).  $f_0(1500)$  在 Regge 轨迹上也找不到合适的位置. 所以,  $f_0(1500)$  主要不应是  $q\bar{q}$  束缚态.

(3)  $f_j(1710)$  也是一个争论得比较多的粒子. 实验上, 先后对它的  $J^P$  量子数给出了不同的结果:  $0^+$  或  $2^+$ . 不久前, BES 给出了新的测量结果<sup>[4]</sup>, 这里应是两个共振态:  $f_2(1690)$  和  $f_0(1780)$ . Bugg 等人<sup>[5]</sup>重新分析 Mark III 的数据, 也认为应当存在两个态:  $\sim 1690 \text{ MeV}$  态为  $2^{++}$  态,  $\sim 1780 \text{ MeV}$  态为  $0^{++}$  态. 按照这个结果, 标量态  $f_0(1780)$  就可以接近地排列在类  $\omega$  的第一激发态轨迹上. 意味着这是一个正常的  $q\bar{q}$  态(见图 4).

(4) Godfrey 和 Isgur<sup>[6]</sup> 唯象地研究  $q\bar{q}$  束缚态质量谱. 考虑到  $q\bar{q}$  之间的各种相互作用, 他们仔细地写下了  $q\bar{q}$  之间的相互作用势, 在非相对论位势模型中求解. 并在选取了合适的混合参数后, 得到了  $q\bar{q}$  束缚态质量谱, 可以认为这是夸克模型的预言.

图 5 给出了  ${}^3P_0(0^{++})$  多重态中同位旋标量态的实验与夸克模型预言的比较. 夸克模型预言在  $1—2 \text{ GeV}$  能区内有 4 个同位旋标量态.  $1090 \text{ MeV}$  态,  $1360 \text{ MeV}$  态属于  ${}^1P_0$  多重

态(记为  $1P$ ,  $1P'$ ). 1780MeV 态、1990MeV 态属于  $2^3P_0$  多重态(记为  $2P$ ,  $2P'$ ). 通过比较同样可以看出,  $f_0(980)$  不应属于正常的  $\bar{q}\bar{q}^3P_0$  态.  $f_0(1500)$  不属于正常的  $\bar{q}\bar{q}$  态.  $f_0(1370)$  态接近于  $1P'(1360)$ ,  $f_0(1780)$  可以被认为是  $2P(1780)$  态.

图5 0<sup>++</sup> 多重态中的同位旋标量态

综合 Regge 轨迹和夸克模型的预言, 两者有相同的结果. 两者都没有给  $f_0(400\text{--}1200)$  合适的位置;  $f_0(980)$ ,  $a_0(980)$ ,  $f_0(1500)$  不是正常的  $\bar{q}\bar{q}$  态; 在  $0^{++}$  基态八重态中和第一激发态八重态中都只发现了一个  $I = 0$  态, 应当从实验上寻找存在的另一个  $I = 0$  态;  $f_0(1370)$  尚不能肯定为  $0^{++}$  基态中的  $\frac{1}{\sqrt{2}}(\bar{u}\bar{u} + \bar{d}\bar{d})$  态或是  $\bar{s}\bar{s}$  态. 本文表 1 中暂且把它放在  $\frac{1}{\sqrt{2}}(\bar{u}\bar{u} + \bar{d}\bar{d})$  的位置上.

## 2 考察张量态 $2^{++}$

目前, 在粒子表<sup>[1]</sup>上已经列出的张量态共有:  $f_0(1270)$ ,  $a_2(1320)$ ,  $f_2(1430)$ ,  $f'_2(1525)$ ,  $f_2(1565)$ ,  $f_2(1640)$ ,  $f_2(1710)$ ,  $f_2(1810)$ ,  $f_2(1950)$ ,  $f_2(2010)$ ,  $f_2(2150)$ ,  $f_2(2220)$ ,  $f_2(2300)$ ,  $f_2(2340)$ .

被列入  $\bar{q}\bar{q}$  介子八重态的情况是:

$$\begin{aligned} & 1^3P_2(a_2(1320), K_2^*(1430), f_2(1270), f'_2(1525)), \\ & 2^3P_2(\quad, K_2^*(1980), f_2(1810), f_2(2010)). \end{aligned}$$

目前尚不清楚在  $1^3F_2$  和  $2^3F_2$  中如何排列张量态.

(1) 从 Regge 轨迹上看, 处于  $2^3P_2$  中  $I = 1$  的张量态质量应在  $M = 1800\text{MeV}$  附近, 处

于  $1^3F_2$  中  $I = 1$  的张量态质量应当在  $M = 1980\text{MeV}$  附近. 但是目前实验上只发现了 1 个  $I = 1$  的张量态  $a_2(1320)$ , 其余的态尚未发现(见图 1).

(2) 夸克模型预言, 在  $2400\text{MeV}$  以下  $1^3P_2$  和  $2^3P_2$  两个八重态中  $I = 0$  分量分别是  $1280\text{MeV}$  态、 $1530\text{MeV}$  态 和  $1820\text{MeV}$  态、 $2040\text{MeV}$  态.  $f_2(1270)$ ,  $f'_2(1525)$  和  $f_2(1810)$ ,  $f_2(2010)$  符合夸克模型的预言(见

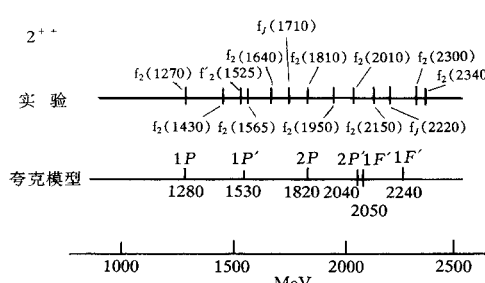


图6). 从Regge轨迹上看, 这几个态也能落在合适的位置上(见图2、3). 平均来说, F态粒子质量应大于P波态粒子质量. 夸克模型预言 $1^3F_2$ 多重态中 $I=0$ 的分量是2050MeV, 2240MeV(见图6).

(3) 除去上述夸克模型预言的 $I=0$ 张量态外, 仍然有7个张量态属于非 $\bar{q}\bar{q}$ 束缚态. 这些态的性质是一个很大的谜. 它们在Regge轨迹图上也处在很不自然的位置上(见图4).

较早时候就知道, 把 $f_2(1270)$ 和 $f'_2(1525)$ 排在 $1^3P_2$ 多重态中是很合理的. 把 $f_2(1810)$ 、 $f_2(2010)$ 排在 $2^3P_2$ 多重态中也合理. 因为它们质量相近,  $f_2(2010)$ 主要衰变成 $\phi\phi$ , 有较多的 $s\bar{s}$ 成分. 它们之间质量满足下唯象关系:

$$M^2(1525) - M^2(1270) \approx M^2(2010) - M^2(1810).$$

因此, 在它们附近的张量态 $f_2(1430)$ ,  $f_2(1565)$ ,  $f_2(1640)$ ,  $f_J(1710)$ ,  $f_2(1950)$ 很难被认为是 $\bar{q}\bar{q}$ 束缚态.  $f_2(1430)$ 态虽然发现了多年, 但至今没有确定它的宽度.  $f_2(1565)$ 态只是在 $p\bar{p}$ 反应中找到, 主要衰变成 $\pi\pi$ . 这个态十分接近并略大于 $p\bar{p}$ 阈.  $f_2(1640)$ 态略大于 $\omega\omega$ 阈. 因此, 有人提出它们是介子-介子束缚态. 在观察 $0^{++}$ 态时已提到 $f_J(1710)$ 态. 对这个态也还有许多实验和理论工作要做, 目前还没有肯定的物理解释. 不久前, WA102组<sup>[7]</sup>给出对 $f_2(1950)$ 态新测量结果. 通过 $p\bar{p} \rightarrow p\bar{p} + 2(\pi^+\pi^-)$ 过程给出 $M = 1960 \pm 30$ MeV,  $\Gamma = 460 \pm 40$ MeV. 但又指出, 这里可能有两个态.

$f_2(2300)$ ,  $f_2(2340)$ 态. 在 $\pi^-P \rightarrow \phi\phi n$ 反应中十分肯定地发现了这两个态, 并确定了它们的 $J^{PC}$ 量子数<sup>[8]</sup>. 但是, 只是在 $\pi^-P$ 反应中发现, 而在 $J/\psi$ 的辐射衰变道中没有肯定被发现. 也许是因为, 到目前为止,  $J/\psi$ 的事例数还不够多. 这两个态被认为是胶球的候选者. 但是, 格点规范理论是数值计算结果给出,  $2^{++}$ 胶球的质量约为2300MeV,  $2^{++}$ 胶球基态只有一个态<sup>[9]</sup>.

$f_J(2220)$ 态被认为是胶球候选者. 在这些非 $\bar{q}\bar{q}$ 束缚态中, 唯有 $f_2(2220)$ 态的宽度小于100MeV. 表现了与众不同的特点. 它的质量值也符合格点规范理论的预言. 但是, 还需要确定这个态的 $J^{PC}$ 值, 并且希望在其它反应道中也能观察到这个态, 更希望理论给出关于胶球态的各种性质的预言, 才能对 $f_J(2230)$ 态的性质作出结论.

### 3 观察 $0^{-+}$ 态

粒子表<sup>[1]</sup>上已列出下列 $I=0$ 的 $0^{-+}$ 态:  $\eta$ ,  $\eta'(958)$ ,  $\eta(1295)$ ,  $\eta(1440)$ ,  $\eta(1760)$ 和 $\eta(2225)$ . 把 $\eta$ 和 $\eta'(958)$ 排在 $0^{-+}$ 基态位置上是很肯定的, 也符合夸克模型的预言. 在Regge轨迹图上也很自然地排列(见图7、8). 把 $\pi(1300)$ 和 $\eta(1295)$ 选作 $0^{-+}$ 第一激发态八重态的两个成员是很自然的, 它们有相近的质量.  $\eta(1295)$ 为 $\eta$ 的激发态. 这里需要指出, Godfrey 和 Isgur<sup>[6]</sup>的夸克模型关于 $0^{-+}$ 激发态的预言不符合实验结果. 例如, 为了符合把 $\eta(1295)$ 选作第一径向激发态, 就要调节他们理论中的参数来作专门的贴合. 那么 $2S$ 多重态中的 $s\bar{s}$ 态应当是什么态? 现有的3组实验指出在 $\eta(1440)$ 态附近有复杂的结构, 需要仔细研究. 3组的结果如下:

DM2 组 <sup>[10]</sup>	Mark III 组 <sup>[11]</sup>	BES <sup>[12]</sup>
$0^{-+}$ 态, $1421 \pm 14$ MeV	$0^{-+}$ 态 1416	$1^{++}$ 态, $1435 \pm 3$ MeV
$0^{-+}$ 态, $1459 \pm 5$	$1^{++}$ 态 1443	$0^{-+}$ 态, $1467 \pm 3$
$1^{++}$ 态, $1462 \pm 20$	$0^{-+}$ 态 1490	$1^{++}$ 态, $1497 \pm 2$

因此,选其中的某一个 $0^{-+}$ 态为 $\eta'$ (985)的第一径向激发态是有可能的。但是,还缺乏对其它各个态的物理解释。如果认为其中存在胶球态的话,这要比格点规范理论预言的 $0^{-+}$ 态质量低多了。

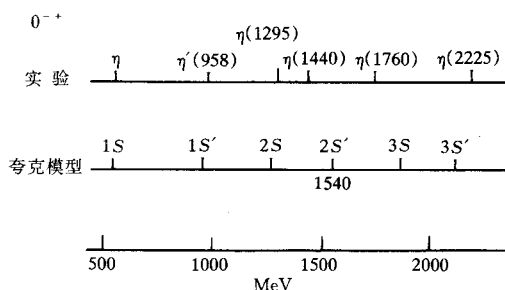


图7  $0^{-+}$ 多重态中同位旋标量态

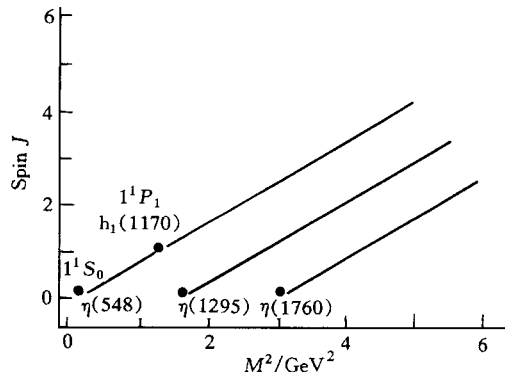


图 8

如果选取 $\eta(1760)$ 为 $3S$ 态, 在 Regge 轨迹上似乎是容许的, 而且存在近似的下一质量关系:

$$M^2(1760) - M^2(1295) \approx M^2(1295) - M^2(547).$$

但是,这样的选取,距夸克模型的预言就有相当的偏离(见图 7)。

#### 4 结束语

对介子态和种种非 $q\bar{q}$ 态的认识是一个逐步完成的过程,现在远远没有完成。从上面 Regge 轨迹和夸克模型分析、比较中,可得到一些启迪。当然,对于非正常排列的态还要作专门研究,才能逐步肯定它们的属性。

在 Regge 轨迹图和夸克模型预言中,都没有给 $f_0(400-1200)$ 合适的位置,这个态不应是正常的 $q\bar{q}$ 态。同样的分析也看出, $f_0(980)$ , $a_0(980)$ , $f_0(1500)$ 也不是正常的 $q\bar{q}$ 束缚态。 $f_0(1370)$ 属于 $0^{++}$ 多重态中 $\frac{1}{\sqrt{2}}(u\bar{u} + d\bar{d})$ 态或是 $s\bar{s}$ 态尚存疑。在 $2^{++}$ 多重态中, $f_2(1270)$ , $f'_2(1525)$ 和 $f_2(1810)$ , $f_2(2010)$ 分别属于 $1^3P_2$ , $2^3P_2$ 多重态中同位旋标量态。 $f_2(1565)$ , $f_2(1640)$ 态主要是介子-介子束缚态的可能性极大。在夸克模型和 Regge 轨迹图上, $f_2(2220)$ 也没有合适的位置,表明这个态极为可能是一个非 $q\bar{q}$ 态。另外,在赝标粒子中, $\eta(1440)$ 区域之谜仍然存在,其中会存在非 $q\bar{q}$ 态。当然,对于所有非正常排列的态还要作专门研究,还有大量工作要做才能逐步肯定它们的属性。

## 参 考 文 献

- 1 Particle Data Group, Eur. Phys. J., 1998, **3C**:1—794
- 2 Weinstein J, Isgur N. Phys. Rev., 1983, **D27**:588, 1990, **D41**:2236
- 3 Jaffe R L Phys. Rev., 1977, **D15**:267, 1978, **D17**:1489
- 4 Bai J et al. Phys. Rev. Lett., 1996, **77**:3959
- 5 Bugg D V et al. Phys. Lett., 1995, **B353**:378
- 6 Godfrey S, Isgur N. Phys. Rev., 1985, **D32**:189
- 7 Barberis D et al. (WA102), Phys. Lett., 1997, **B413**:217
- 8 Etkin A et al. Phys. Lett., 1988, **B201**:568
- 9 Bali G S et al. (UKQCD) Phys. Lett., 1993, **B309**:378; Sexton J et al. (GF11) Phys. Rev. Lett., 1995, **75**:4563
- 10 Augustin J E et al. Phys. Rev., 1992, **D46**:1951
- 11 Bai Z et al. Phys. Rev. Lett., 1990, **65**:2057
- 12 Ma A M. Ph. D Thesis, BES, 1995

## Understanding the Meson States and Non- $q\bar{q}$ States\*

Wu Jimin

(Institute of High Energy Physics, The Chinese Academy of Sciences, Beijing 100039)

**Abstract** By studying the behaviors of Regge trajectories of the boson resonances and comparing with the predictions from quark model, we understand more the existing scalar, tensor, pseudoscalar particles and non-quark-antiquark states. One can find some resonances are non- $q\bar{q}$  states.

**Key words** non- $q\bar{q}$  state, glueball states, Regge trajectory

Received 8 September 1998

\* Supported by the National Climb Plan and the National Natural Science Foundation of China